

ハドロンの複合性と 低エネルギー普遍性



兵藤 哲雄

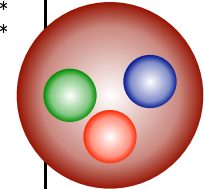
京都大学 基礎物理学研究所

2017, Mar. 16th 1

ハドロンの分類

観測されているハドロン

| | | | | | | | | | | | | | | |
|-----------------|----------|------|-----------------|----------|------|----------------|---------|------|-----------------------|---------------------|------|---------------------|---------|------|
| p | $1/2^+$ | **** | $\Delta(1232)$ | $3/2^+$ | **** | Σ^+ | $1/2^+$ | **** | Ξ^0 | $1/2^+$ | **** | Λ_c^+ | $1/2^+$ | **** |
| n | $1/2^+$ | **** | $\Delta(1600)$ | $3/2^+$ | *** | Σ^0 | $1/2^+$ | **** | Ξ^- | $1/2^+$ | **** | $\Lambda_c(2595)^+$ | $1/2^-$ | *** |
| $N(1440)$ | $1/2^+$ | **** | $\Delta(1620)$ | $1/2^-$ | **** | Σ^- | $1/2^+$ | **** | $\Xi(1530)$ | $3/2^+$ | **** | $\Lambda_c(2625)^+$ | $3/2^-$ | *** |
| $N(1520)$ | $3/2^-$ | **** | $\Delta(1700)$ | $3/2^-$ | **** | $\Sigma(1385)$ | $3/2^+$ | **** | $\Xi(1620)$ | * | | $\Lambda_c(2765)^+$ | * | |
| $N(1535)$ | $1/2^-$ | **** | $\Delta(1750)$ | $1/2^+$ | * | $\Sigma(1480)$ | * | | $\Xi(1690)$ | *** | | $\Lambda_c(2880)^+$ | $5/2^+$ | *** |
| $N(1650)$ | $1/2^-$ | **** | $\Delta(1900)$ | $1/2^-$ | ** | $\Sigma(1560)$ | ** | | $\Xi(1820)$ | $3/2^-$ | *** | $\Lambda_c(2940)^+$ | *** | |
| $N(1675)$ | $5/2^+$ | **** | $\Delta(1905)$ | $5/2^+$ | **** | $\Sigma(1580)$ | $3/2^-$ | * | $\Xi(1950)$ | *** | | $\Sigma_c(2455)$ | $1/2^+$ | **** |
| $N(1680)$ | $5/2^+$ | **** | $\Delta(1910)$ | $1/2^+$ | **** | $\Sigma(1620)$ | $1/2^-$ | * | $\Xi(2030)$ | $\geq \frac{5}{2}?$ | *** | $\Sigma_c(2520)$ | $3/2^+$ | *** |
| $N(1700)$ | $3/2^-$ | *** | $\Delta(1920)$ | $3/2^+$ | *** | $\Sigma(1660)$ | $1/2^+$ | *** | $\Xi(2120)$ | * | | $\Sigma_c(2800)$ | *** | |
| $N(1710)$ | $1/2^+$ | **** | $\Delta(1930)$ | $5/2^-$ | *** | $\Sigma(1670)$ | $3/2^-$ | *** | $\Xi(2250)$ | ** | | Ξ_c^+ | $1/2^+$ | *** |
| $N(1720)$ | $3/2^+$ | **** | $\Delta(1940)$ | $3/2^-$ | ** | $\Sigma(1690)$ | ** | | $\Xi(2370)$ | ** | | Ξ_c^0 | $1/2^+$ | *** |
| $N(1860)$ | $5/2^+$ | ** | $\Delta(1950)$ | $7/2^+$ | **** | $\Sigma(1730)$ | $3/2^+$ | * | $\Xi(2500)$ | * | | $\Xi_c^{+/-}$ | $1/2^+$ | *** |
| $N(1875)$ | $3/2^-$ | *** | $\Delta(2000)$ | $5/2^+$ | ** | $\Sigma(1750)$ | $1/2^-$ | *** | Ξ_c^0 | *** | | Ξ_c^0 | $1/2^+$ | *** |
| $N(1880)$ | $1/2^+$ | ** | $\Delta(2150)$ | $1/2^-$ | * | $\Sigma(1770)$ | $1/2^+$ | * | Ω^- | $3/2^+$ | **** | $\Xi_c(2645)$ | $3/2^+$ | *** |
| $N(1895)$ | $1/2^-$ | ** | $\Delta(2200)$ | $7/2^-$ | * | $\Sigma(1775)$ | $5/2^-$ | *** | $\Omega(2250)^-$ | *** | | $\Xi_c(2790)$ | $1/2^-$ | *** |
| $N(1900)$ | $3/2^+$ | *** | $\Delta(2300)$ | $9/2^+$ | ** | $\Sigma(1840)$ | $3/2^+$ | * | $\Omega(2380)^-$ | ** | | $\Xi_c(2815)$ | $3/2^-$ | *** |
| $N(1990)$ | $7/2^+$ | ** | $\Delta(2350)$ | $5/2^-$ | * | $\Sigma(1880)$ | $1/2^+$ | ** | $\Omega(2470)^-$ | ** | | $\Xi_c(2930)$ | * | |
| $N(2000)$ | $5/2^+$ | ** | $\Delta(2390)$ | $7/2^+$ | * | $\Sigma(1900)$ | $1/2^-$ | * | Ω_c^0 | $1/2^+$ | *** | $\Xi_c(2970)$ | *** | |
| $N(2040)$ | $3/2^+$ | * | $\Delta(2400)$ | $9/2^-$ | ** | $\Sigma(1915)$ | $5/2^+$ | *** | Ω_c^0 | $1/2^+$ | *** | $\Xi_c(3055)$ | *** | |
| $N(2060)$ | $5/2^-$ | ** | $\Delta(2420)$ | $11/2^+$ | **** | $\Sigma(1940)$ | $3/2^+$ | * | $\Omega_c(2770)^0$ | $3/2^+$ | *** | $\Xi_c(3080)$ | *** | |
| $N(2100)$ | $1/2^+$ | * | $\Delta(2750)$ | $13/2^-$ | ** | $\Sigma(1940)$ | $3/2^-$ | *** | $\Xi_c(3123)$ | * | | Ξ_{cc}^+ | * | |
| $N(2120)$ | $3/2^-$ | ** | $\Delta(2950)$ | $15/2^+$ | ** | $\Sigma(2000)$ | $1/2^-$ | * | Ξ_{cc}^0 | * | | Ξ_{cc}^0 | * | |
| $N(2190)$ | $7/2^-$ | **** | $\Delta(2400)$ | $9/2^-$ | ** | $\Sigma(2030)$ | $7/2^+$ | **** | Ω_c^0 | $1/2^+$ | *** | Ξ_{cc}^0 | $1/2^+$ | *** |
| $N(2220)$ | $9/2^+$ | **** | Λ | $1/2^+$ | **** | $\Sigma(2070)$ | $5/2^+$ | * | $\Omega_c(2770)^0$ | $3/2^+$ | *** | Ξ_{cc}^0 | * | |
| $N(2250)$ | $9/2^-$ | **** | $\Lambda(1405)$ | $1/2^-$ | **** | $\Sigma(2080)$ | $3/2^+$ | ** | Ξ_{cc}^0 | * | | Ξ_{cc}^0 | * | |
| $N(2300)$ | $1/2^+$ | ** | $\Lambda(1520)$ | $3/2^-$ | **** | $\Sigma(2100)$ | $7/2^-$ | * | Ξ_{cc}^0 | * | | Ξ_{cc}^0 | * | |
| $N(2570)$ | $5/2^-$ | ** | $\Lambda(1600)$ | $1/2^+$ | *** | $\Sigma(2250)$ | *** | | Λ_b^0 | $1/2^+$ | *** | Λ_b^0 | $1/2^+$ | *** |
| $N(2600)$ | $11/2^-$ | *** | $\Lambda(1670)$ | $1/2^-$ | *** | $\Sigma(2455)$ | ** | | $\Lambda_b(5912)^0$ | $1/2^-$ | *** | $\Lambda_b(5920)^0$ | $3/2^-$ | *** |
| $N(2700)$ | $13/2^+$ | ** | $\Lambda(1690)$ | $3/2^-$ | **** | $\Sigma(2620)$ | ** | | Σ_b^0 | $1/2^+$ | *** | Σ_b^0 | $1/2^+$ | *** |
| $\Lambda(1710)$ | $1/2^+$ | * | $\Lambda(1800)$ | $1/2^-$ | *** | $\Sigma(3000)$ | * | | Σ_b^0, Ξ_b^- | $1/2^+$ | *** | $\Xi_b'(5935)^-$ | $1/2^+$ | *** |
| $\Lambda(1810)$ | $1/2^+$ | *** | $\Lambda(1820)$ | $5/2^+$ | **** | $\Sigma(3170)$ | * | | $\Xi_b'(5935)^-$ | $3/2^+$ | *** | $\Xi_b(5945)^0$ | $3/2^+$ | *** |
| $\Lambda(1830)$ | $5/2^-$ | **** | $\Lambda(1890)$ | $3/2^+$ | **** | $\Sigma(3170)$ | * | | $\Xi_b(5955)^-$ | $3/2^-$ | *** | $\Xi_b(5955)^0$ | $3/2^+$ | *** |
| $\Lambda(1900)$ | * | | $\Lambda(2000)$ | $7/2^+$ | * | $\Sigma(3170)$ | * | | Ω_b^- | $1/2^+$ | *** | $\Xi_b(5955)^0$ | $1/2^+$ | *** |
| $\Lambda(2020)$ | $1/2^-$ | * | $\Lambda(2050)$ | $3/2^-$ | * | $\Sigma(3170)$ | * | | $\Xi_b(5955)^0$ | $1/2^+$ | *** | $\Xi_b(5955)^0$ | $1/2^+$ | *** |
| $\Lambda(2100)$ | $7/2^-$ | **** | $\Lambda(2110)$ | $5/2^+$ | *** | $\Sigma(3170)$ | * | | Ω_b^- | $1/2^+$ | *** | $\Xi_b(5955)^0$ | $1/2^+$ | *** |
| $\Lambda(2325)$ | $3/2^-$ | * | $\Lambda(2350)$ | $9/2^+$ | *** | $\Sigma(3170)$ | * | | $\Xi_b(5955)^0$ | $1/2^+$ | *** | $\Xi_b(5955)^0$ | $1/2^+$ | *** |
| $\Lambda(2585)$ | * | | $\Lambda(2585)$ | * | | $\Sigma(3170)$ | * | | $\Xi_b(5955)^0$ | $1/2^+$ | *** | $\Xi_b(5955)^0$ | $1/2^+$ | *** |



バリオン~150種類

PDG2016 : <http://pdg.lbl.gov/>

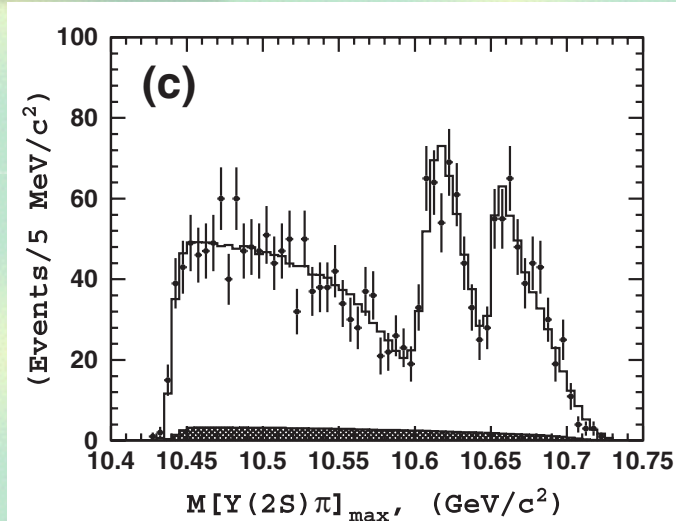
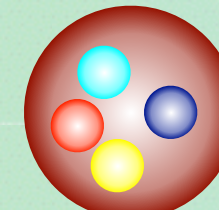
| LIGHT UNFLAVORED ($S = C = B = 0$) | | STRANGE ($S = \pm 1, C = B = 0$) | | CHARMED, STRANGE ($C = S = \pm 1$) | | $\mathcal{C}_c F_c(\mathcal{F}_c)$ |
|---|--------------------------------|---------------------------------------|--------------------------------|---|--------------------------------|------------------------------------|
| $F_c(\mathcal{F}_c)$ | $\mathcal{F}_c(\mathcal{F}_c)$ | $F_c(\mathcal{F}_c)$ | $\mathcal{F}_c(\mathcal{F}_c)$ | $F_c(\mathcal{F}_c)$ | $\mathcal{F}_c(\mathcal{F}_c)$ | |
| π^\pm | $1^-(0^-)$ | $\rho_3(1690)$ | $1^+(3^-)$ | K^\pm | $1/2(0^-)$ | D_s^\pm |
| π^0 | $1^-(0^-)$ | $\rho_1(1700)$ | $1^+(1^-)$ | K^0 | $1/2(0^-)$ | D_s^+ |
| η | $0^+(0^-)$ | $a_2(1700)$ | $1^+(2^+)$ | K_S^0 | $1/2(0^-)$ | D_s^0 |
| $\eta_0(500)$ | $0^+(0^-)$ | $f_0(1710)$ | $0^+(0^+)$ | K_0^0 | $1/2(0^-)$ | $D_s(2317)^{\pm}$ |
| $\omega(770)$ | $1^+(1^-)$ | $\eta(1760)$ | $0^+(0^-)$ | $K_1'(800)$ | $1/2(0^+)$ | $D_s(2460)^{\pm}$ |
| $\omega(782)$ | $0^-(1^-)$ | $\pi(1800)$ | $1^-(0^-)$ | $K_1'(892)$ | $1/2(1^-)$ | $D_s(2536)^{\pm}$ |
| $\omega(958)$ | $0^+(0^+)$ | $\rho_2(1810)$ | $0^+(2^+)$ | $K_2(1270)$ | $1/2(1^-)$ | $D_s(2573)^{\pm}$ |
| $\omega(960)$ | $0^+(0^+)$ | $\chi(1833)$ | $0^?(0^-)$ | $K_1(1400)$ | $1/2(1^+)$ | $D_s(2660)^{\pm}$ |
| $\omega(1020)$ | $0^-(1^-)$ | $a_2(1840)$ | $1^-(1^+)$ | $K_1(1410)$ | $1/2(1^+)$ | $D_s(2680)^{\pm}$ |
| $\eta_1(1170)$ | $0^-(1^-)$ | $\phi_2(1850)$ | $0^-(3^-)$ | $K_2(1460)$ | $1/2(0^+)$ | $D_s(3040)^{\pm}$ |
| $b_1(1235)$ | $1^+(1^+)$ | $\rho_2(1870)$ | $0^+(2^-)$ | $K_2(1820)$ | $1/2(0^-)$ | |
| $a_1(1260)$ | $1^-(1^-)$ | $\rho_2(1880)$ | $1^-(2^-)$ | $K_1(1830)$ | $1/2(2^-)$ | |
| $f_2(1270)$ | $0^+(2^+)$ | $\rho_1(1900)$ | $0^+(1^-)$ | $K_1(1850)$ | $1/2(1^+)$ | |
| $f_1(1285)$ | $0^+(1^+)$ | $\rho_1(1910)$ | $0^+(2^+)$ | $K_1(1860)$ | $1/2(1^-)$ | |
| $\eta_1(1295)$ | $0^+(0^-)$ | $a_2(1910)$ | $1^-(0^+)$ | $K_1(1870)$ | $1/2(2^-)$ | |
| $\omega_1(1300)$ | $1^-(0^-)$ | $f_2(1910)$ | $0^+(2^+)$ | $K_2(1870)$ | $1/2(2^-)$ | |
| $\rho_2(1320)$ | $1^+(2^+)$ | $\rho_2(1910)$ | $1^+(3^-)$ | $K_2(1870)$ | $1/2(3^-)$ | |
| $f_0(1370)$ | $0^+(0^+)$ | $\rho_2(1910)$ | $0^+(2^+)$ | $K_2(1870)$ | $1/2(3^-)$ | |
| $\eta_1(1380)$ | $0^-(1^-)$ | $\rho_2(1920)$ | $0^+(0^+)$ | $K_2(1880)$ | $1/2(0^-)$ | |
| $\eta_1(1400)$ | $1^-(1^-)$ | $\rho_2(1920)$ | $0^+(1^-)$ | $K_2(1890)$ | $1/2(0^+)$ | |
| $\eta_1(1465)$ | $0^+(0^+)$ | $\rho_2(1950)$ | $0^+(4^+)$ | $K_2(1910)$ | $1/2(2^+)$ | |
| $\eta_1(1470)$ | $0^+(1^+)$ | $\rho_2(1950)$ | $0^+(2^+)$ | $K_2(1920)$ | $1/2(2^+)$ | |
| $\eta_1(1500)$ | $0^+(2^+)$ | $\rho_2(1950)$ | $0^+(0^-)$ | $K_2(1950)$ | $1/2(2^+)$ | |
| $\eta_1(1510)$ | $0^+(1^+)$ | $\eta(2225)$ | $0^+(0^-)$ | $K_2(1950)$ | $1/2(2^+)$ | |
| $f_2'(1525)$ | $0^+(2^+)$ | $\rho_2(2250)$ | $1^+(3^-)$ | D^0 | $1/2(0^-)$ | B_s^0 |
| $f_2(1565)$ | $0^+(2^+)$ | $\rho_2(2250)$ | $0^+(2^+)$ | D^0 | $1/2(0^-)$ | B_s^0 |
| $\omega(1570)$ | $1^+(1^-)$ | $\rho_2(2300)$ | $0^+(2^+)$ | D^0 | $1/2(0^-)$ | B_s^0 |
| $h_1(1595)$ | $0^+(1^-)$ | $\rho_2(2300)$ | $0^+(4^+)$ | D^0 | $1/2(0^-)$ | B_s^0 |
| $\pi_1(1600)$ | $1^-(1^-)$ | $\rho_2(2300)$ | $0^+(0^+)$ | $D_0^0(2400)^0$ | $1/2(0^-)$ | $B_s^0(5830)^0$ |
| $\rho_1(1640)$ | $1^-(1^+)$ | $\rho_2(2340)$ | $0^+(2^+)$ | $D_0^0(2400)^0$ | $1/2(0^-)$ | $B_s^0(5830)^0$ |
| $f_2(1640)$ | $0^+(2^+)$ | $\rho_2(2340)$ | $0^+(5^-)$ | $D_0^0(2400)^0$ | $1/2(0^-)$ | $B_s^0(5830)^0$ |
| $\rho_2(1645)$ | $0^+(2^+)$ | $\rho_2(2350)$ | $0^+(5^-)$ | $D_0^0(2400)^0$ | $1/2(0^-)$ | $B_s^0(5830)^0$ |
| $\omega_1(1650)$ | $0^-(1^-)$ | $\rho_2(2450)$ | $1^-(6^+)$ | $D_0^0(2400)^0$ | $1/2(0^-)$ | $B_s^0(5830)^0$ |
| $\omega_2(1670)$ | $0^-(3^-)$ | $\rho_2(2510)$ | $0^+(6^+)$ | $D_0^0(2400)^0$ | $1/2(0^-)$ | $B_s^0(5830)^0$ |
| $\omega_2(1680)$ | $0^-(0^-)$ | $\rho_2(2510)$ | $0^+(0^-)$ | $D_0^0(2400)^0$ | $1/2(0^-)$ | $B_s^0(5830)^0$ |
| OTHER LIGHT | | | | | | |
| CHARMED ($C = \pm 1$) | | | | | | |
| Λ_b^0 | $1/2^+$ | *** | Λ_b^0 | $1/2^-$ | *** | D_s^0 |
| $\Lambda_b(5912)^0$ | $1/2^-$ | *** | $\Lambda_b(5920)^0$ | $3/2^-$ | *** | D_s^0 |
| $\Lambda_b(5920)^0$ | $3/2^-$ | *** | Σ_b^0 | $1/2^+$ | *** | D_s^0 |
| Ξ_b^0 | $1/2^+$ | *** | Ξ_b^0 | $1/2^+$ | *** | D_s^0 |
| $\Xi_b'(5935)^-$ | $1/2^+$ | *** | $\Xi_b'(5935)^-$ | $3/2^+$ | *** | D_s^0 |
| $\Xi_b(5945)^0$ | $3/2^+$ | *** | $\Xi_b(5945)^0$ | $3/2^+$ | *** | D_s^0 |
| $\Xi_b'(5955)^-$ | $3/2^-$ | *** | $\Xi_b'(5955)^-$ | $3/2^+$ | *** | D_s^0 |
| $\Xi_b(5955)^0$ | $3/2^+$ | *** | $\Xi_b(5955)^0$ | $3/2^+$ | *** | D_s^0 |
| Ω_b^- | $1/2^+$ | *** | Ω_b^- | $1/2^+$ | *** | D_s^0 |
| CHARMED, STRANGE ($B = \pm 1, S = \pm 1$) | | | | | | |
| Ξ_c^+ | $1/2^+$ | *** | $\Xi_c^$ | | | |

qqq/qで記述できない状態

テトラクォーク候補(Belle)

: $Z_b(10610), Z_b(10650)$

$Y(5S) \rightarrow \pi^\pm + Z_b$
 $\hookrightarrow Y(nS)(b\bar{b}) + \pi^\mp(u\bar{d}/d\bar{u})$

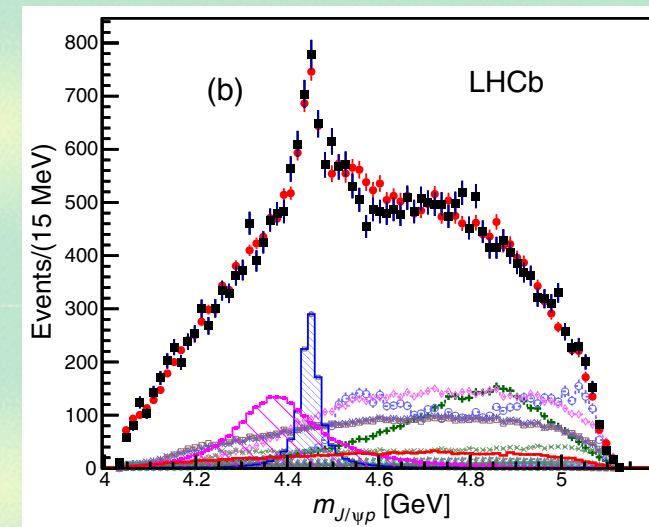
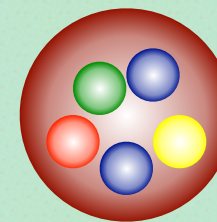


A. Bondar, et al., Phys. Rev. Lett. 108, 122001 (2012)

ペンタクォーク候補(LHCb)

: $P_c(4450), P_c(4380)$

$\Lambda_b \rightarrow K^- + P_c$
 $\hookrightarrow J/\psi(c\bar{c}) + p(uud)$



R. Aaij, et al., Phys. Rev. Lett. 115, 072001 (2015)

ごく少数しか発見されていない。なぜ少ないのか？

様々なハドロン励起

励起状態の記述（バリオンの例）



qqq 以外のエキゾチック構造をどのように判別するか？

- 反クォークの存在：“価クォーク数”的非保存
- カラー閉じ込め：クォークは漸近状態ではない

ハドロンの複合性

複合性 X : ハドロン波動関数の 2 ハドロン部分空間への射影

S. Weinberg, Phys. Rev. 137, B672 (1965);

T. Hyodo, Int. J. Mod. Phys. A 28, 1330045 (2013)

$$\hat{1} = \hat{P}_{\text{two-body}} + \hat{P}_{\text{others}}, \quad \hat{P}_{\text{two-body}} = \int \frac{d^3 p}{(2\pi)^3} |p\rangle\langle p|$$

$$X = \langle B | \hat{P}_{\text{two-body}} | B \rangle$$

複合性



2 体成分の割合

$$Z = \langle B | \hat{P}_{\text{others}} | B \rangle$$

“一粒子性”

(その他すべて)

- 定量的なクラスター性の指標 $X+Z=1, 0 < X < 1$

- 束縛状態の (X, Z) は確率として解釈可能 ← 波動関数の規格化

- 漸近状態 (ハドロン) で定義: QCD で well defined

低エネルギー普遍性

2体系の普遍性：ユニタリー極限

E. Braaten, H.-W. Hammer, Phys. Rept. 428, 259 (2006)

1) s波の短距離相互作用

2) 散乱長： $|a| \gg r_s$: 相互作用距離

- 系はスケール不变

- $a > 0$ で浅い束縛状態が存在

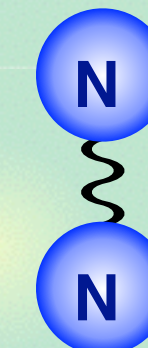
$$B_2 = \frac{1}{ma^2} \left[1 + \mathcal{O} \left(\frac{r_s}{a} \right) \right]$$

例：核子と ${}^4\text{He}$ 原子

| | N [MeV] | ${}^4\text{He}$ [mK] |
|----------|-------------|----------------------|
| B_2 | 2.22 | 1.31 |
| $1/ma^2$ | 1.41 | 1.12 |

vdW

strong



${}^4\text{He}$

安定状態の弱束縛関係式

s波弱束縛状態 ($R \gg R_{\text{typ}}$) の複合性 $0 < X < 1$

S. Weinberg, Phys. Rev. 137, B672 (1965);

T. Hyodo, Int. J. Mod. Phys. A 28, 1330045 (2013)

$$a_0 = R \left\{ \frac{2X}{1+X} + \mathcal{O}\left(\frac{R_{\text{typ}}}{R}\right) \right\}, \quad r_e = R \left\{ \frac{X-1}{X} + \mathcal{O}\left(\frac{R_{\text{typ}}}{R}\right) \right\}$$

a_0 : 散乱長, r_e : 有効レンジ, $R = (2\mu B)^{-1/2}$: 波動関数の広がり

R_{typ} : 相互作用の典型的長さスケール

- 重陽子はNN複合状態 ($a_0 \sim R \gg r_e$) $\leftarrow X \sim 1$

核力や波動関数を知らなくても観測可能量から構造が分かる。

$B \rightarrow 0$ 極限は完全に複合的 : $X = 1$ (スケール不变性 : $a_0 = R$)

T. Hyodo, Phys. Rev. C90, 055208 (2014)

- 弱束縛関係式 : スケール不变性の破れと複合性の関係

応用例

準束縛状態（崩壊の効果込み）の弱束縛関係式 $\times \leftarrow (E_{QB}, a_0)$

Y. Kamiya, T. Hyodo, Phys. Rev. C93, 035203 (2016), PTEP 2017 023D02 (2017)

$$a_0 = R \left\{ \frac{2X}{1+X} + \mathcal{O} \left(\left| \frac{R_{typ}}{R} \right| \right) + \sqrt{\frac{\mu'^3}{\mu^3}} \mathcal{O} \left(\left| \frac{l}{R} \right|^3 \right) \right\}, \quad R = \frac{1}{\sqrt{-2\mu E_{QB}}}, \quad l \equiv \frac{1}{\sqrt{2\mu\nu'_0}}$$

$\Lambda(1405)$: $\bar{K}N$ 閾値近傍の共鳴状態

R.H. Dalitz, S.F. Tuan, Phys. Rev. Lett. 425 (1959)

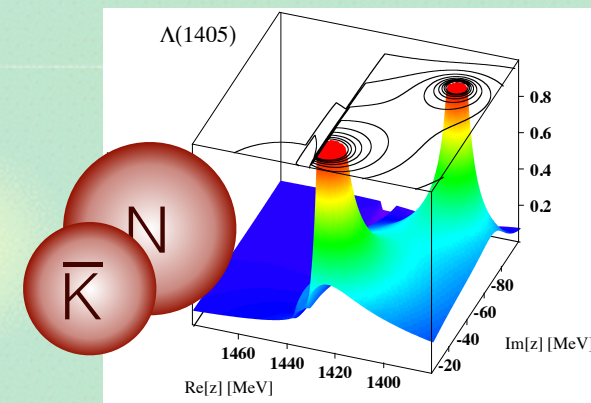
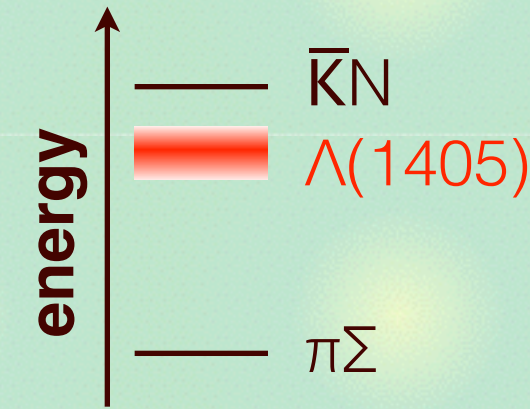
- 複素固有エネルギーと $\bar{K}N$ 散乱長の決定

Y. Ikeda, T. Hyodo, W. Weise, Phys. Lett. B706, 63 (2011)

- $E_{QB} = -10 - 26i$ MeV, $a_0 = 1.39 - 0.85i$ fm

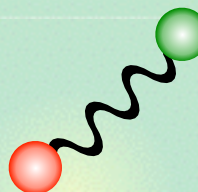
- $X_{\bar{K}N} = 1.2 + 0.1i$

$\Lambda(1405)$ の（閾値に近い）状態は $\bar{K}N$ 複合的

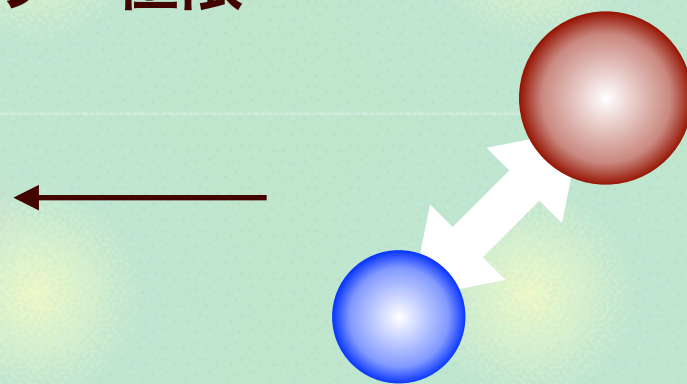


3体系へ

2体系での低エネルギー普遍性：ユニタリー極限



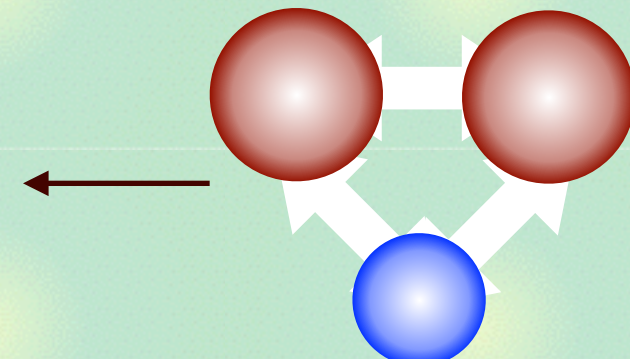
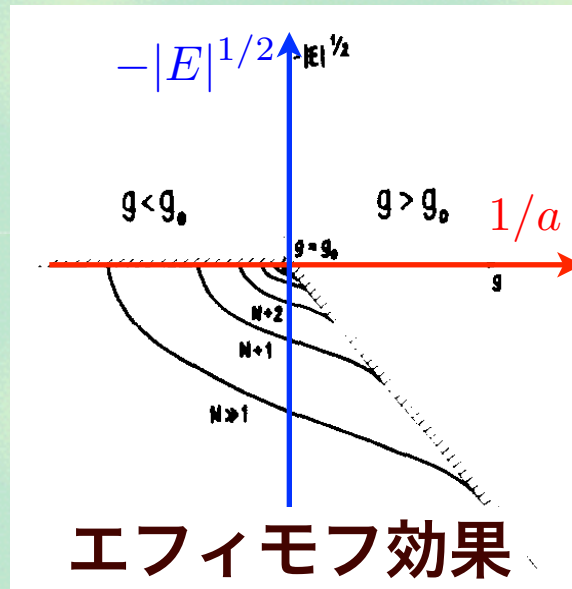
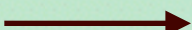
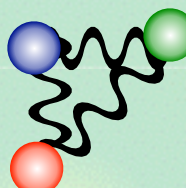
スケール不变性
弱束縛関係式



3体系での低エネルギー普遍性

V. Efimov, Phys. Lett. B 33, 563 (1970)

E. Braaten, H.-W. Hammer, Phys. Rept. 428, 259 (2006)

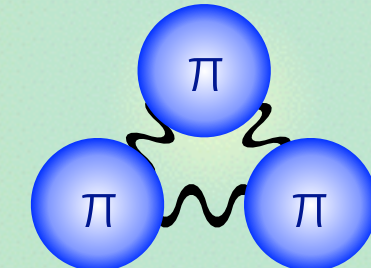


πππ系の普遍性

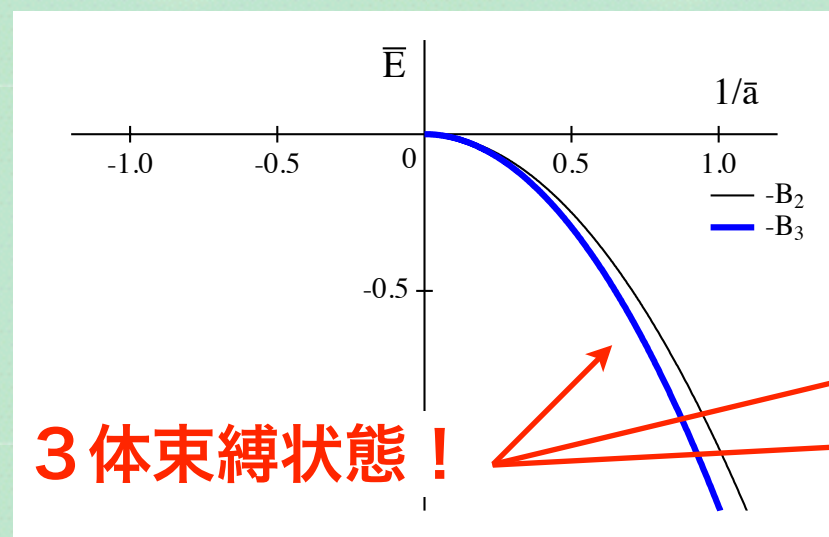
普遍性の発現：散乱長の調整

T. Hyodo, T. Hatsuda, Y. Nishida, Phys. Rev. C89, 032201(R) (2014)

- $\pi\pi$ 散乱長 <– クォーク質量 m_q 、カイラル対称性の回復に依存



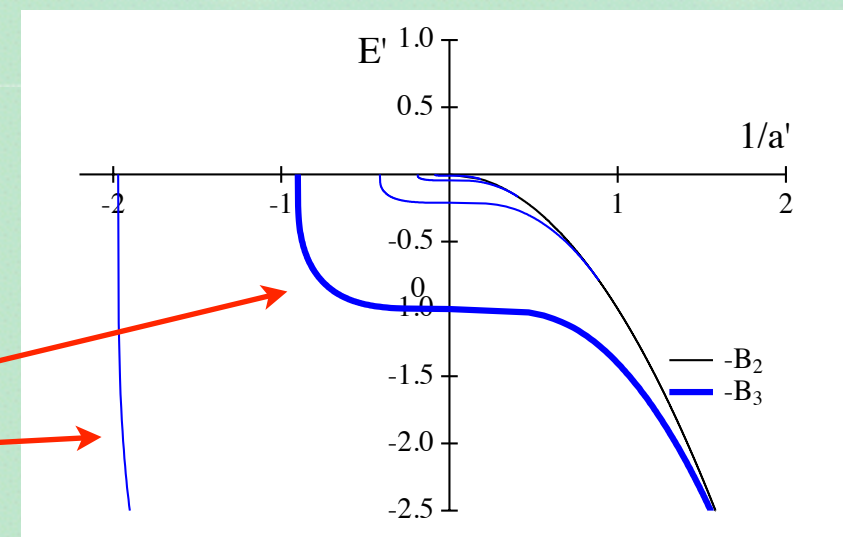
アイソスピン対称($\pi^0\pi^0\pi^0 - \pi^0\pi^- \pi^+$)



3体束縛状態！

1つの束縛状態

アイソスピンの破れ($\pi^0\pi^0\pi^0$)



エフィモフ効果（無限個の状態）

- 物理系への示唆：核媒質中での σ と π^* の同時ソフト化？

メソンと2中性子系の普遍性

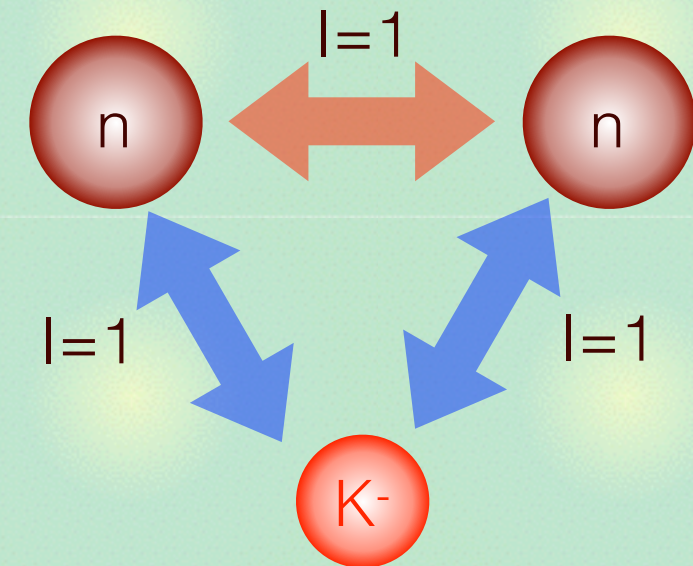
K^-nn/D^0nn 系 ($J=0, |=3/2, l_3=-3/2$) $\neq K^-pp$ ($|=1/2$)

U. Raha, Y. Kamiya, S.-I. Ando, T. Hyodo, in preparation

- 全ての相互作用がアイソスピン $|=1$ (**no $\wedge(1405)$**)

エフィモフ効果に有利

- 結合チャンネルがない
- クーロン相互作用がない
- $a_{nn} \sim -20 \text{ fm} \gg r_s \sim O(1) \text{ fm}$



結果

- 2体 K^-n 系 : m_s 增加 ($m_K \sim 1337 \text{ MeV}$) でユニタリー極限
- 3体 K^-nn 系 : K^-n がユニタリー極限のときにエフィモフ効果
- 物理系への示唆 : 3体共鳴状態 ?

まとめ

- 複合性X：ハドロン構造の漸近状態による定量的なクラスター性の指標
- 低エネルギー普遍性：系の微視的な詳細に依存しない帰結、階層を超えて適用可能
- 2体系：複合性の弱束縛関係式、 $\wedge(1405)$ の構造
- 3体系：理想化された3ハドロン系 ($\pi^0\pi^0\pi^0$, $K-nn$) でのエフィモフ効果